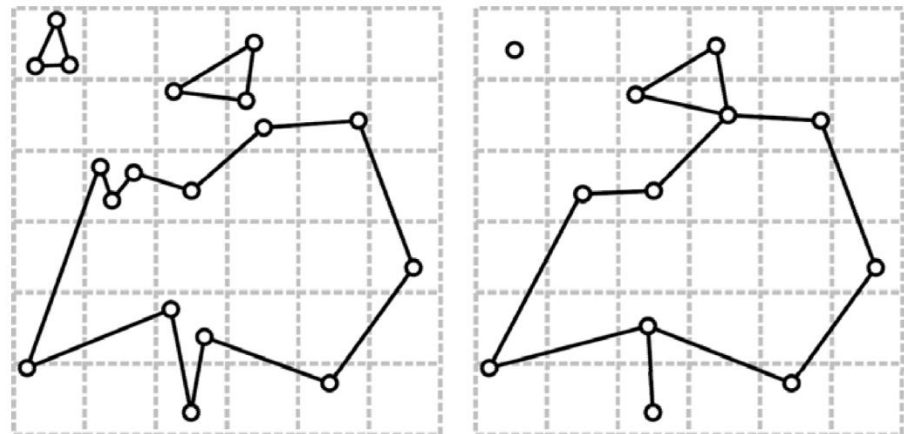


# Mesh-Dezimierung

- Oft resultiert eine große Polygon-Anzahl aus dem Meshing
- Mesh-Dezimierung versucht die Polygon-Anzahl zu verringern, die Geometrie jedoch so weit wie möglich zu erhalten

## Vertex Clustering

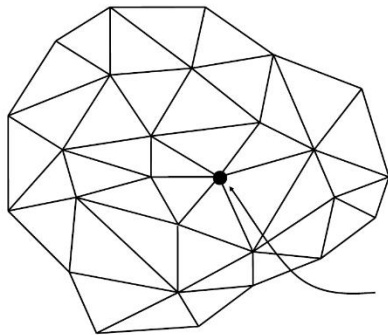
- Abbildung des Meshs in ein gleichmäßiges Gitter
- Für Knoten die innerhalb einer Gitterzelle liegen: repräsentativen Knoten bestimmen (z.B. Mittelwert)
- Verbindung der repräsentativen Knoten über Gitterzellengrenzen hinweg zu neuen Kanten (sofern es dort zuvor eine Kante gab)



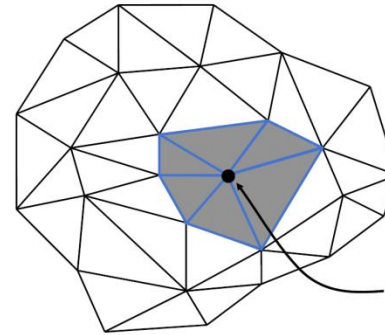
# Mesh-Dezimierung

## Incremental Decimation:

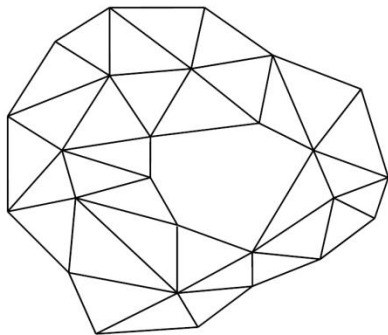
- Grundidee: Auswahl einer Mesh-Region, z.B. Umbrella-Region. Darin Anwendung eines Dezimierungs-Operators
- Beispiel-Operator „Vertex removal“:



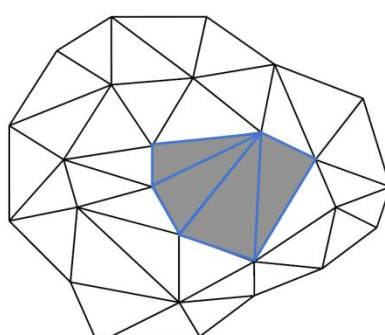
Select a vertex to be eliminated



Select all triangles sharing this vertex



Remove the selected triangles, creating the hole

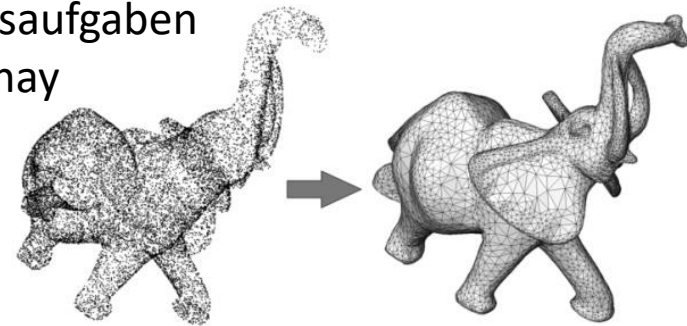


Fill the hole with new triangles

# Softwarepakete für Meshing (Beispiele)

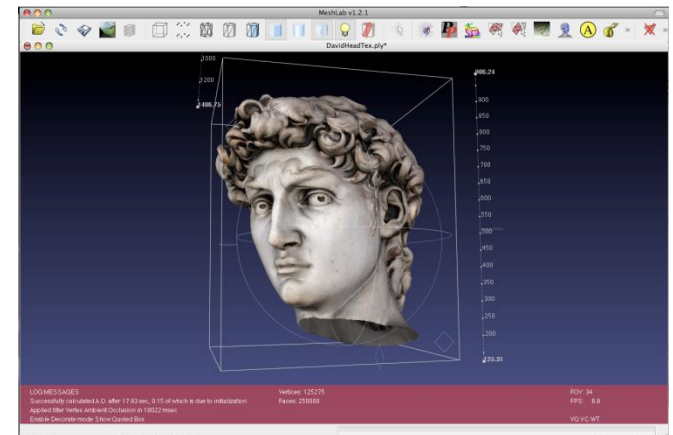
- CGAL: The Computational Geometry Algorithms Library

- Open Source Bibliothek (C++) für geometrische Berechnungen
- Enthält diverse Algorithmen für Polygonisierungsaufgaben (u.a. 2D / 3D Surface Mesh basierend auf Delaunay Triangulation)
- Sehr gutes Manual:  
<http://doc.cgal.org/latest/Manual/index.html>



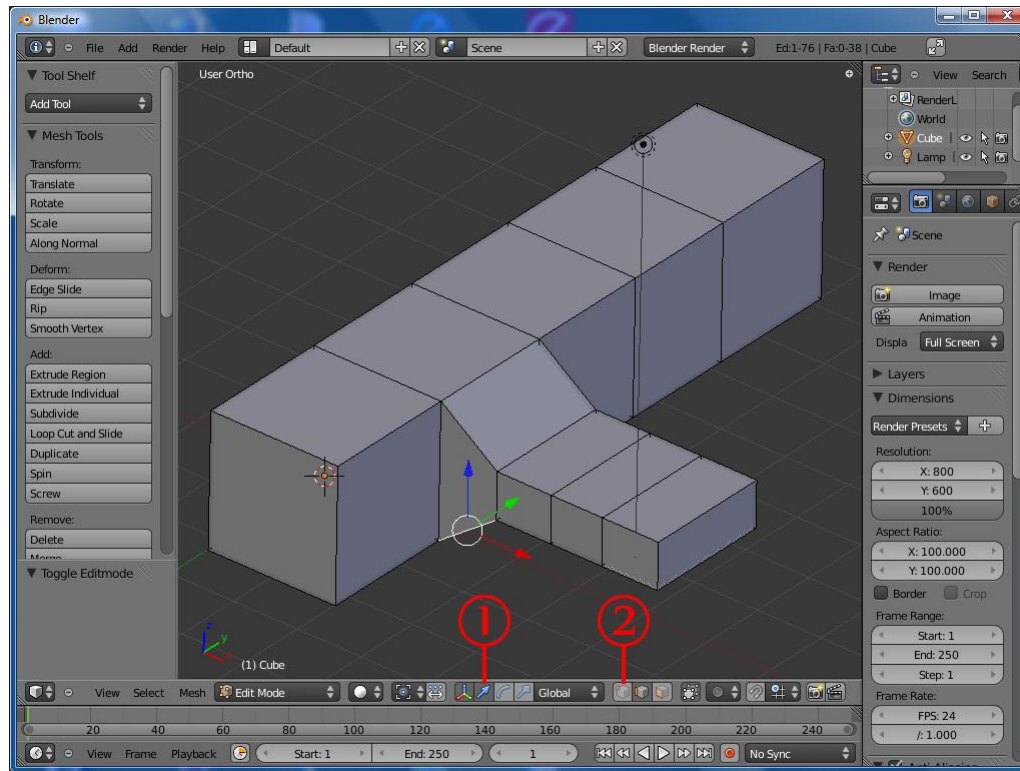
- MeshLab

- Open Source zur Erstellung und Bearbeitung von 3D-Dreieck-Polygonnetzen
- <http://meshlab.sourceforge.net/>
- Grafische Benutzeroberfläche



# Meshgenerierung durch CAD

- Erzeugung komplexer Körper in OpenGL ohne Datengrundlage schwierig
- Meist Modellierung in entsprechender CAD-Anwendung oder 3D Grafikwerkzeugen, z.B. Blender



# Geometrische Körper in GLUT

- Würfel:
  - `glutWireCube(size)`: Würfel-Drahtmodell mit Seitenlänge *size*
  - `glutSolidCube(size)`: Gefüllter Würfel, Seitenlänge *size*
- Kugel:
  - `glutWireSphere(radius, slices, stacks)`: Kugel mit Radius *radius*, Mittelpunkt im Ursprung, Anzahl der Längengrade (*slices*) und Breitengrade (*stacks*).
  - `glutSolidSphere(radius, slices, stacks)`: analog
- Kegel:
  - `glutWireCone(base, height, slices, stacks)`: Kegel mit Grundradius *radius*, Grundfläche liegt in der x/y-Ebene mit Mittelpunkt im Ursprung, Höhe des Kegels in z-Richtung (*height*). Anzahl der Längengrade (*slices*) und Breitengrade (*stacks*).
  - `glutSolidCone(base, height, slices, stacks)`: analog
- Torus:
  - `glutWireTorus(innerRadius, outerRadius, nsides, rings)`: Torus mit Mittelpunkt im Ursprung und z-Achse als Achse. Zahl der Seiten in jedem Radialschnitt *nsides* und Zahl der Radialschnitte (*rings*).
  - `glutSolidTorus(innerRadius, outerRadius, nsides, rings)`: analog

# Geometrische Körper in GLUT

- Platonische Polyeder, (jeweils Mittelpunkt im Ursprung)

- Dodekaeder:

- `glutWireDodecahedron(void)`: Radius  $\sqrt{3}$
- `glutSolidDodecahedron(void)`

- Oktaeder:

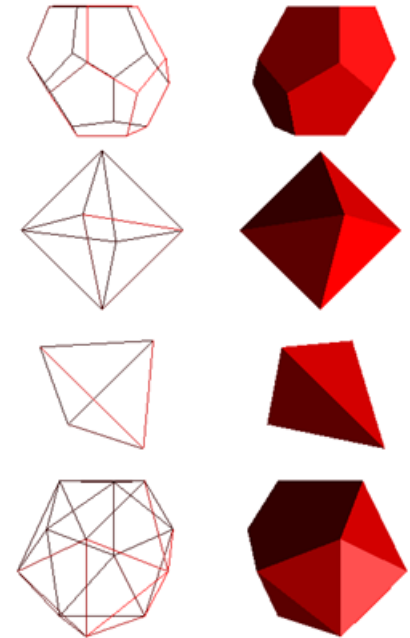
- `glutWireOctahedron(void)`: Radius 1
- `glutSolidOctahedron(void)`

- Tetraeder:

- `glutWireTetrahedron(void)`: Radius  $\sqrt{3}$
- `glutSolidTetrahedron(void)`

- Ikosaeder:

- `glutWireIcosahedron(void)`: Radius 1
- `glutSolidIcosahedron(void)`



- Teekanne

- `glutWireTeapot(scale)`: klassische Teekanne, um Faktor *scale* gestreckt
- `glutSolidTeapot(scale)`: analog

## 3.3. FREIFORMFLÄCHEN

# Freiformkurven- und Flächen

- Polygonnetze aus explizit definierten planaren Polygonen approximieren gekrümmte Flächen i.d.R. durch eine Vielzahl von Polygonen
- Andere Möglichkeit für eine speichersparende Repräsentation: parametrische Beschreibung gekrümmter Flächen → „Freiformflächen“
- Vorteile:
  - Ermöglicht Arbeiten mit unterschiedlichen Auflösungen → Tessellierung je nach Bedarf.
  - Normalenvektoren für Lichtberechnung können direkt aus gekrümmter Fläche abgeleitet werden.
- Gewünschte Eigenschaften:
  - **Kontrollierbarkeit:** Einfluss der Parameter für Benutzer intuitiv verständlich
  - **Lokalitätsprinzip:** Möglichkeit die Kurve/Fläche lokal zu verändern.
  - **Glattheit:** Kurve/Fläche soll gewisse Glattheitseigenschaften besitzen
    - Stetig (=keine Lücken/Sprünge) (C0-Kontinuität)
    - mindestens einmal stetig differenzierbar (= keine Knicke) (C1-Kontinuität)
    - besser zweimal stetig differenzierbar (= keine abrupte Änderung der Krümmung) (C2-Kontinuität)



# Freiformkurven- und Flächen

- Beschreibung erfolgt mittels **parametrischer Funktionen**

- Punkte  $(x, y, z)$  auf der Kurve werden als Funktion einer oder mehrerer Variablen durchlaufen:

$$\begin{aligned}x &= x(t) \\y &= y(t) \\z &= z(t)\end{aligned} \qquad t_1 < t < t_2$$

- Für jeden Wert  $t$  aus  $[t_1, t_n]$  erhält man eine kartesische Koordinate  $(x, y, z)$  eines Punktes
- Menge der Punkte legt die Funktionskurve der durch den Parameter  $t$  dargestellten Funktion fest.
- Beschreibung einer Kurve im Raum: 1 Parameter  $(t)$
- Beschreibung einer Fläche im Raum: 2 Parameter  $(t, s)$

- Beispiel: parametrische Beschreibung eines Kreises

$$r(t) = \begin{pmatrix} x(t) \\ y(t) \end{pmatrix} = \begin{pmatrix} \cos t \\ \sin t \end{pmatrix} \quad \text{für } 0 \leq t \leq 2\pi$$

# Freiformkurven- und Flächen

- Stützpunkte definieren Kurven- bzw. Flächenverlauf
  - *Interpolation*: Kurve läuft exakt durch Stützpunkte
    - für  $(n + 1)$  Stützpunkte existiert immer eine Zerlegung in ein Polynom  $n$ -ten Grades
  - Nachteile:**
    - oft hoher Polynomgrad → hoher Rechenaufwand
    - Lokalisitätsprinzip verletzt
    - Schwingen
  - *Approximation*: Kurve nähert Stützpunkte gut an
    - gewünschte Eigenschaften können erhalten werden
- Bekannte Ansätze für Freiformkurven/-flächen u.a.:
  - Bézierkurven/-flächen
  - B-Splines
  - Non-uniform rational B-Splines (NURBS)

# Bézierkurven

- Grundbaustein: Bernstein-Polynome
- Besondere Familie reeller Polynome mit ganzzahligen Koeffizienten

Das  $i$ -te Bernstein-Polynom  $n$ -ten Grades (mit  $i \in \{0, \dots, n\}$ ) ist durch die Gleichung

$$B_i^{(n)}(t) = \binom{n}{i} \cdot (1-t)^{n-i} \cdot t^i$$

gegeben, wobei  $t \in [0,1]$ .

Erinnerung aus der Kombinatorik  
(Binomialkoeffizient):

$$\binom{n}{i} = \frac{n!}{i!(n-i)!} = \frac{\prod_{k=1}^n k}{\prod_{k=1}^i k \cdot \prod_{k=1}^{(n-i)} k}$$

- Eigenschaften von Bernstein-Polynomen:
  - Im Definitionsbereich  $[0, 1]$  nehmen Bernstein-Polynome nur Werte zwischen 0 und 1 an.
  - An jeder Stelle des Definitionsbereichs  $[0, 1]$  addieren sich die Bernstein-Polynome zu 1 auf.

# Bézierkurven

- **Beispiel für  $n = 3$ :** einsetzen von  $i = 0 \dots 3$  und  $n = 3$  liefert die 4 Bernsteinpolynome

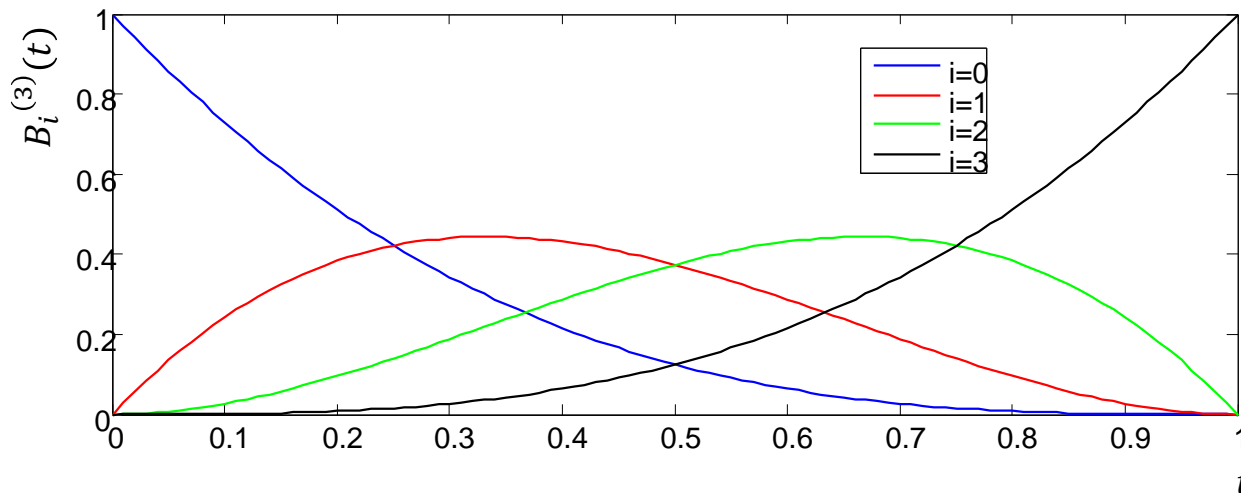
$$B_0^{(3)}(t) = (1 - t)^3$$

$$B_1^{(3)}(t) = 3(1 - t)^2 t$$

$$B_2^{(3)}(t) = 3(1 - t) t^2$$

$$B_3^{(3)}(t) = t^3$$

$$B_i^{(n)}(t) = \binom{n}{i} \cdot (1 - t)^{n-i} \cdot t^i$$



# Bézierkurven

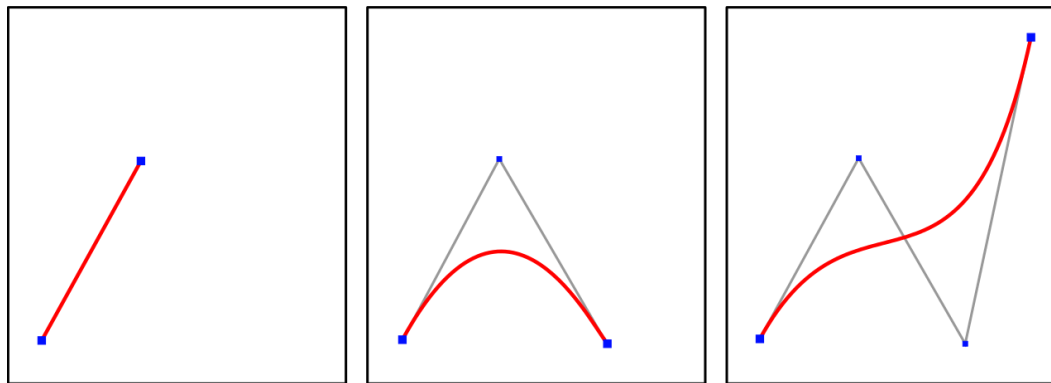
- Bézierkurven verwenden Bernstein-Polynome  $n$ -ten Grades zur Approximation von  $(n + 1)$  Stützpunkten  $b_0, \dots, b_n \in \mathbb{R}^p$ .
- Die durch diese Stützpunkte definierte Kurve

$$p(t) = \sum_{i=0}^n b_i \cdot B_i^{(n)}(t)$$

An jeder Stelle  $t \in [0,1]$  der Bézierkurve: Bernsteinpolynom  $i$  an der Stelle  $t$  gibt ~Gewichtungsfaktor für den Stützpunkt  $i$  an

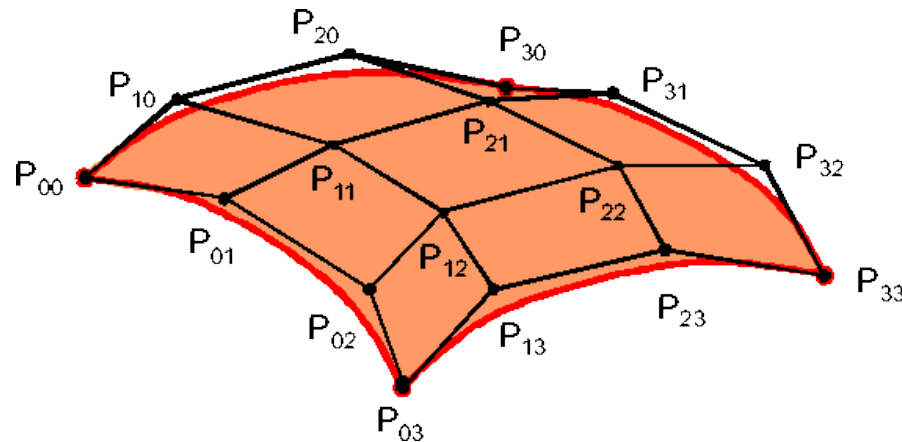
heißt Bézierkurve vom Grad  $n$ .

- Bézierkurven interpolieren den Anfangs- und Endpunkt, die anderen Stützpunkte liegen i.d.R. nicht auf der Kurve.



# Bézierflächen

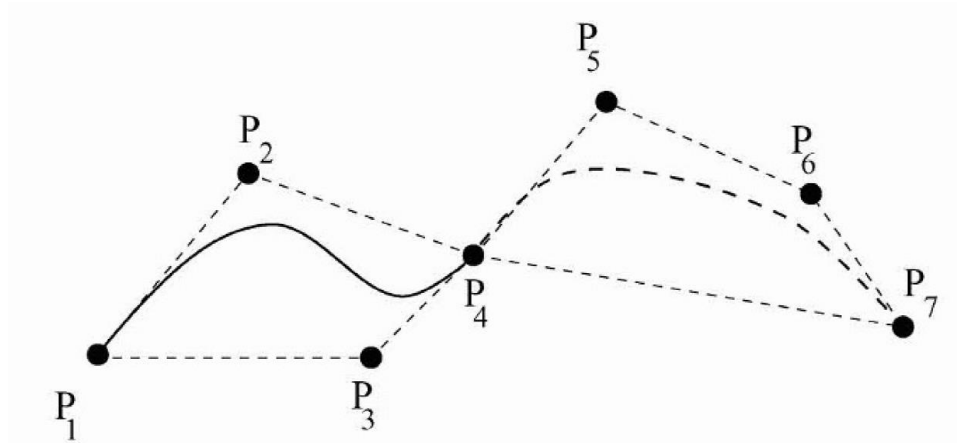
- Hinzufügen einer Parameterdimension ermöglicht Bézierflächen im Raum
- Statt der Bedingung  $t \in [0,1]$  gilt nun  $s, t \in [0,1]$ .



- Eigenschaften:
  - Invariant gegenüber affinen Transformationen (= Rotation, Verschiebung, Skalierung)
  - Symmetrisch gegenüber Stützpunkten, d.h.  $b_0, \dots, b_n$  ergibt die selbe Kurve wie  $b_n, \dots, b_0$ .
- Nachteil Bézierkurven: Hoher Polynomgrad bei vielen Stützpunkten

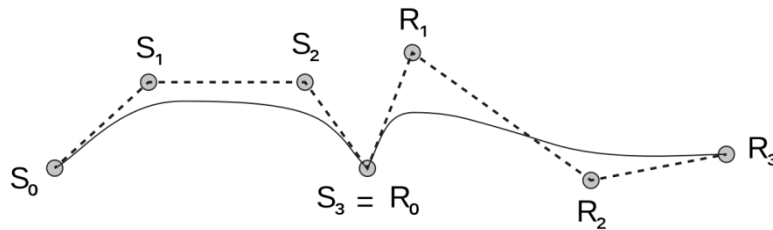
# Stückweise Bézierkurven

- Setzen sich aus mehreren Bézierkurven niedrigen Grades  $n$  zusammen
  - Üblicherweise dritter oder vierter Grad
- Berechnung einer Bézierkurve für jeweils  $n + 1$  aufeinander folgende Stützpunkte
- Letzter Stützpunkt der ersten Bézierkurve wird erster Stützpunkt der nächsten usw.
  - Stützpunkte an Nahtstellen werden daher interpoliert

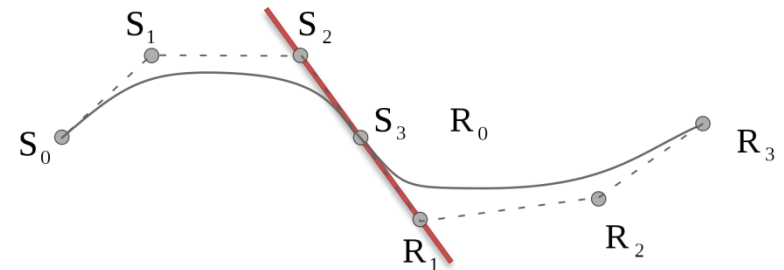


# Stückweise Bézierkurven

- Vermeidung von Knicken an Nahtstellen durch Kollinearität des vorhergehenden und nachfolgenden Punktes (= C1-Kontinuität)

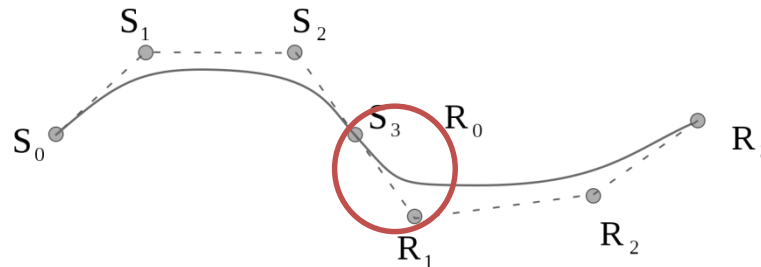


C0-Kontinuität



C1-Kontinuität

- C2-Kontinuität bei stückw. Bézierkurven nicht zwingend gegeben



- Gewünschte Eigenschaften *Interpolation*, *lokale Kontrolle* und *C2-Kontinuität* lassen sich für kubische Kurven nicht garantiert vereinbaren .



# B-Spline-Kurven

- Durch Verzicht auf die Interpolation lässt sich lokale Kontrolle und C2-Kontinuität erreichen.
- Möglich durch Austausch der Basisfunktion zur B-Spline-Basisfunktion:

$$p(t) = \sum_{i=0}^{n-1} b_i \cdot N_{i,k}(t)$$

B-Spline Basisfunktion:

$$N_{i,0}(t) = \begin{cases} 1 & \text{für } x_i \leq t < x_{i+1} \\ 0 & \text{sonst} \end{cases}$$

$$N_{i,k}(t) = \frac{t - x_i}{x_{i+k} - x_i} N_{i,k-1}(t) + \frac{x_{i+k+1} - t}{x_{i+k+1} - x_{i+1}} N_{i+1,k-1}(t)$$

*Cox- de Boor-Rekursion*

- Ordnung der Basisfunktion  $k + 1$
- Polynom hat den Grad  $k$ .
- Knotenvektor aus aufsteigend sortierten Werten (bestimmt durch Anzahl der Stützpunkte  $n$  und Polynomgrad  $k$ ).

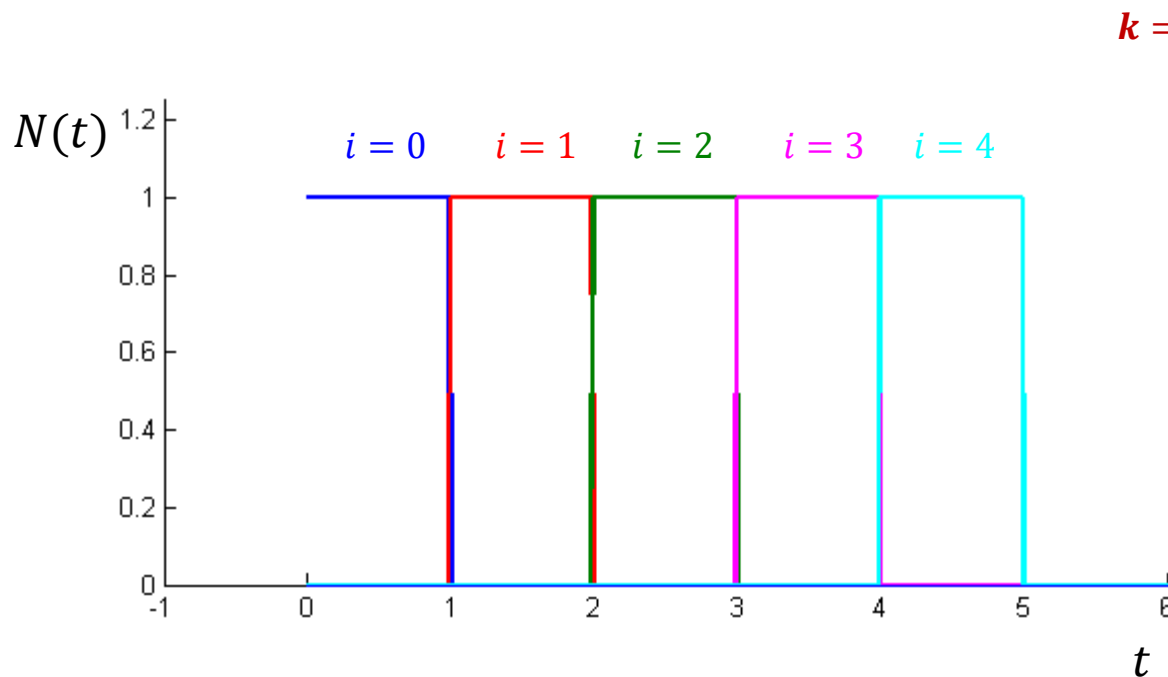
$$x_i: x_1 < \dots < x_n < x_{n+1} < x_{n+k+1}$$

- Definitionsbereich von  $t$  frei wählbar
- Knotenvektor im Definitionsbereich frei wählbar (Kontrolle über Kurvenverlauf)

# B-Spline-Kurven

- Beispiel:  $k = 0$ ,  $n = 5$  Stützpunkte  $\rightarrow n + k + 1 = 6$  Knoten,  $i = [0 \dots 4]$

Plot des Kurvenabschnitts für Knotenvektor  $[0 \ 1 \ 2 \ 3 \ 4 \ 5]$  durch Einsetzen in die Cox-de-Boor-Rekursion, für  $t = [0 \dots 5]$

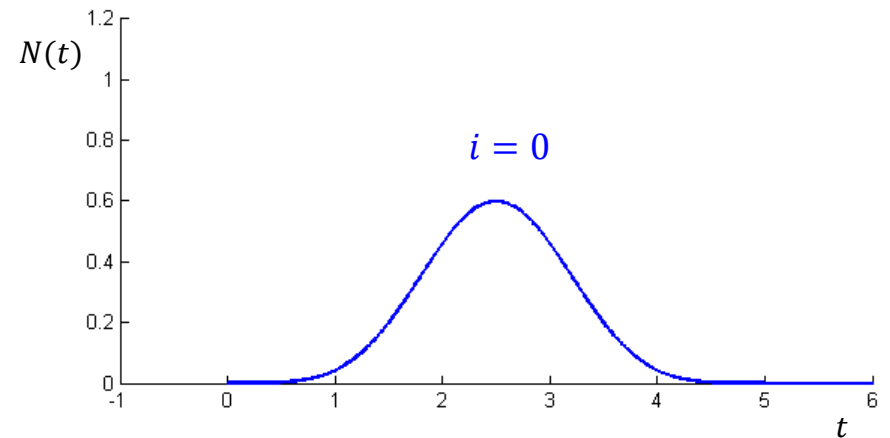
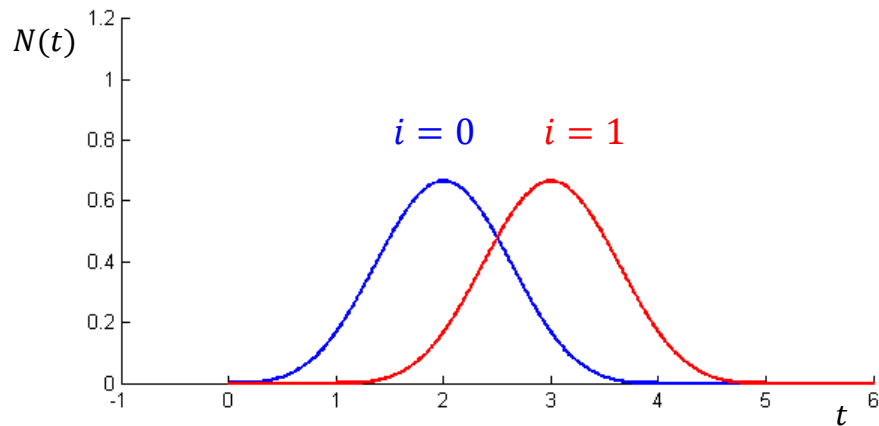
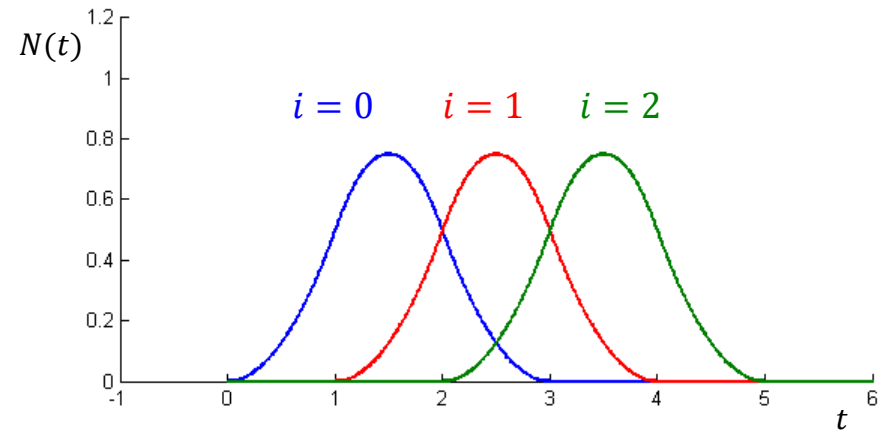
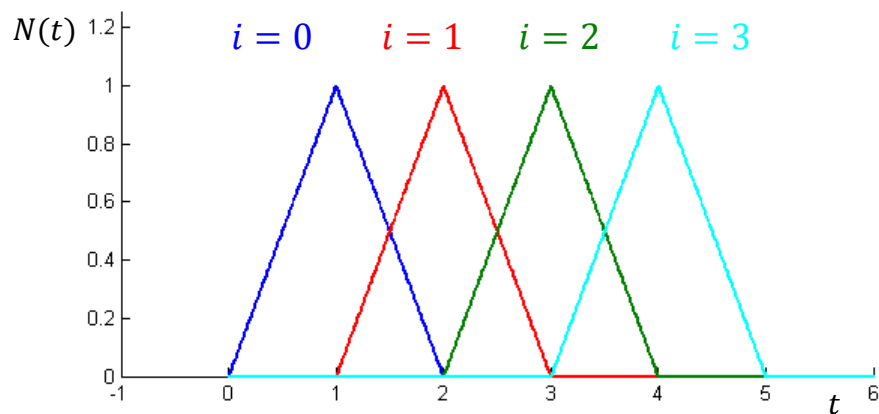


$$N_{i,0}(t) = \begin{cases} 1 & \text{für } x_i \leq t < x_{i+1} \\ 0 & \text{sonst} \end{cases}$$

$$i = 0: N_{0,0}(t) = 1 \text{ für } 0 \leq t \leq 1$$

# B-Spline-Kurven

- Beispiele für  $k = 1, 2, 3, 4$  mit Knotenvektor  $[0 \ 1 \ 2 \ 3 \ 4 \ 5]$

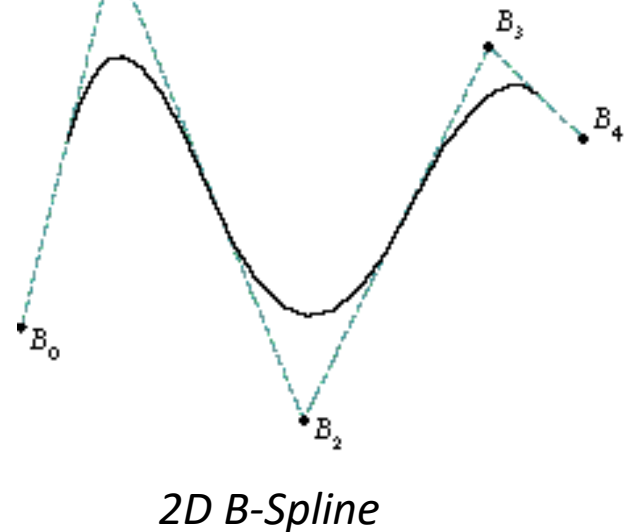
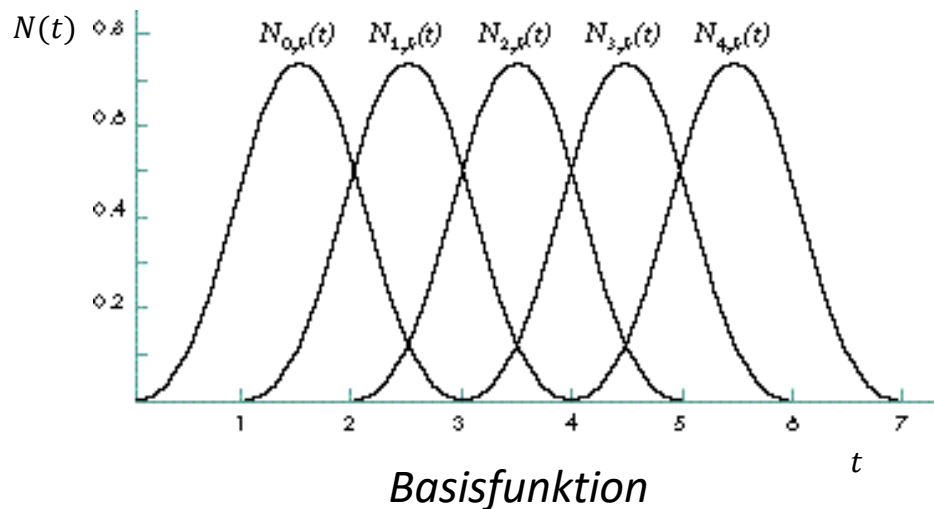


# B-Spline-Kurven

- Beispiel:

- 5 Stützpunkte  $b_0 \dots b_4$ , Grad  $k = 2 \rightarrow$  Länge Knotenvektor = 8
- mit  $t = 0 \dots 7$ : uniformer Knotenvektor  $[0 \ 1 \ 2 \ 3 \ 4 \ 5 \ 6 \ 7]$

$$p(t) = \sum_{i=0}^{n-1} b_i \cdot N_{i,k}(t)$$



# B-Spline-Kurven

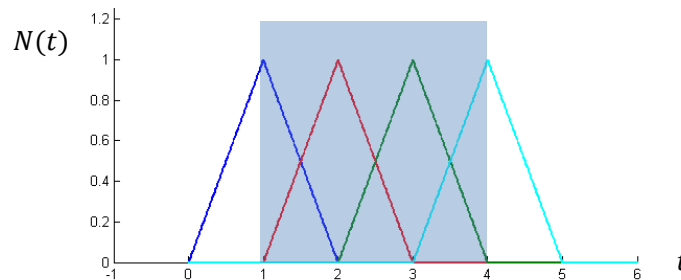
$$N_{i,0}(t) = \begin{cases} 1 & \text{für } x_i \leq t < x_{i+1} \\ 0 & \text{sonst} \end{cases}$$

$$N_{i,k}(t) = \frac{t - x_i}{x_{i+k} - x_i} N_{i,k-1}(t) + \frac{x_{i+k+1} - t}{x_{i+k+1} - x_{i+1}} N_{i+1,k-1}(t)$$

- **Eigenschaften der Basisfunktion:**

- Eine Kurve der Ordnung  $k + 1$  ist nur definiert wenn  $k + 1$  Basisfunktionen ungleich 0 sind.

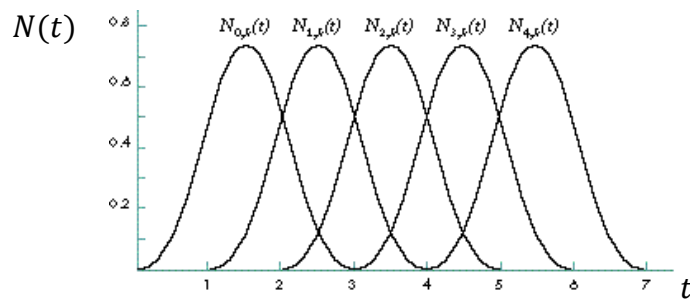
*Beispiel für  $k = 1$ :*



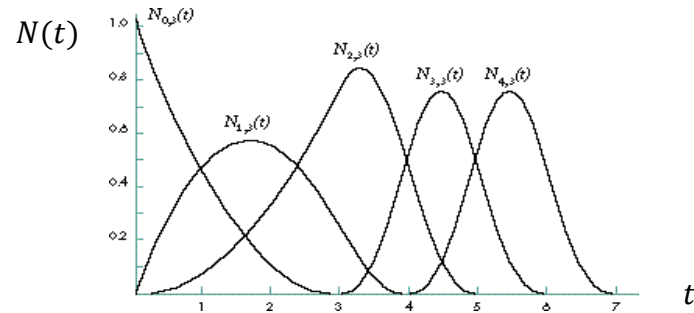
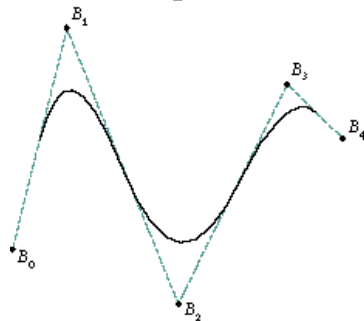
- Für jedes  $t$  im Definitionsbereich addieren sich die Werte der Basisfunktionen zu 1.
- Für jedes  $t$  im Definitionsbereich haben nie mehr als  $k + 1$  Basisfunktionen einen Einfluss auf den Kurvenverlauf

# B-Spline-Kurven

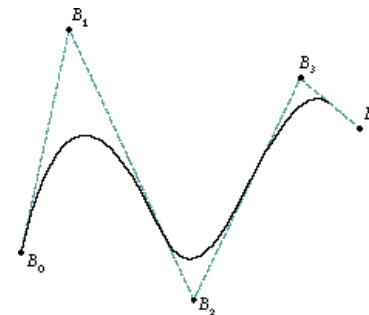
- Bisher: periodische, uniforme Knotenvektoren
- Auswirkung offener uniformer Knotenvektoren:
  - $k$  Wiederholungen des ersten Elements, Beispiel:  $k = 2$



Knotenvektor = [0 1 2 3 4 5 6 7]



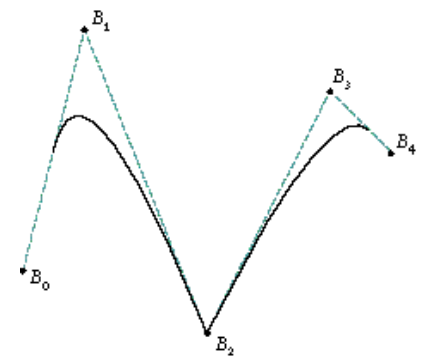
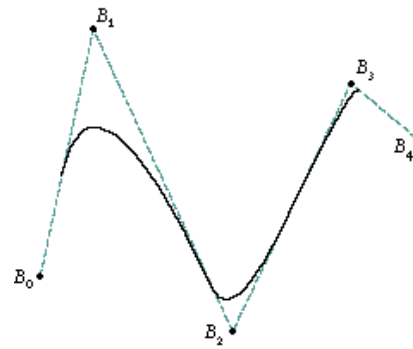
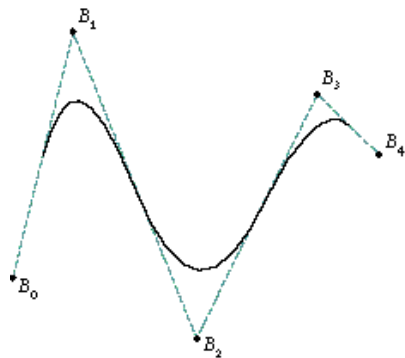
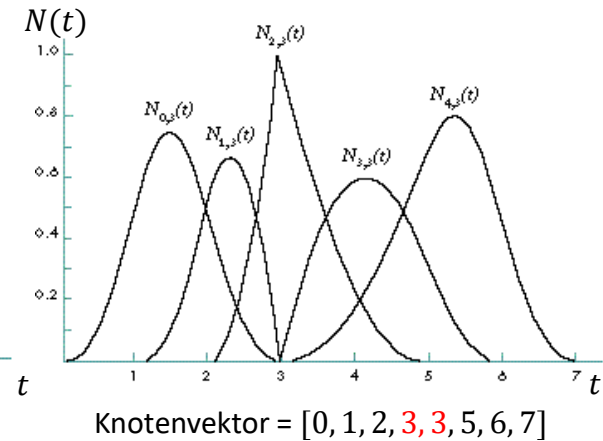
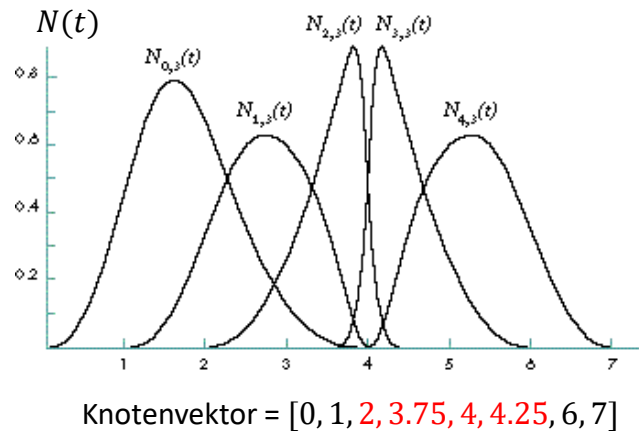
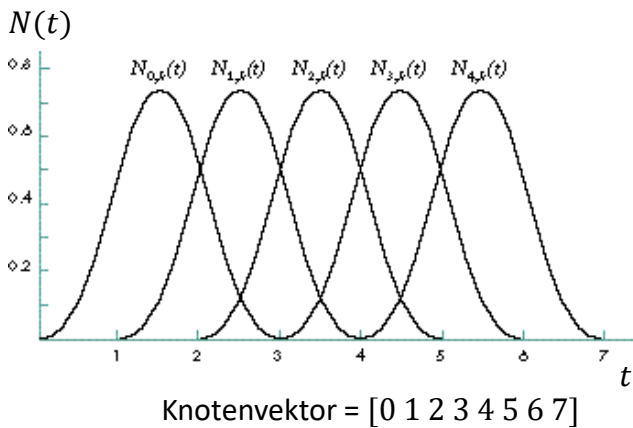
Knotenvektor = [0 0 0 3 4 5 6 7]



Geometrisch: Erster Knotenpunkt fällt mit erstem Stützpunkt zusammen (= Interpolation)

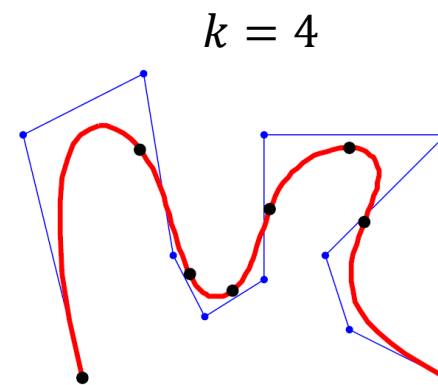
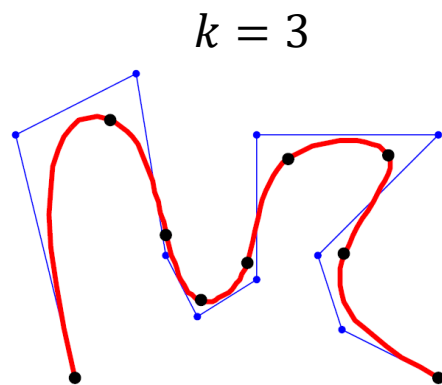
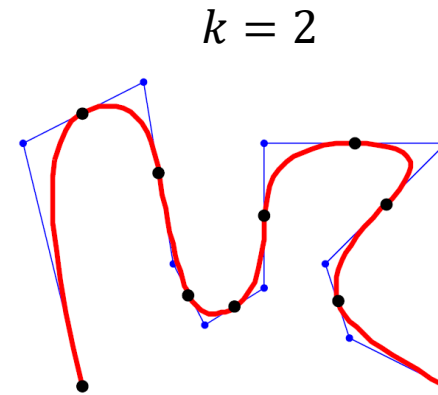
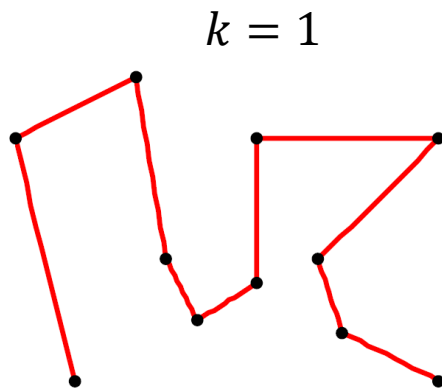
# B-Spline-Kurven

- Auswirkung nicht-uniformer Knotenvektoren:
  - Beispiele für  $k = 2$



# B-Spline-Kurven

- Auswirkung des B-Spline-Grades: Beispiele für Approximationen einer Kurve bei  $k = 1, 2, 3, 4$



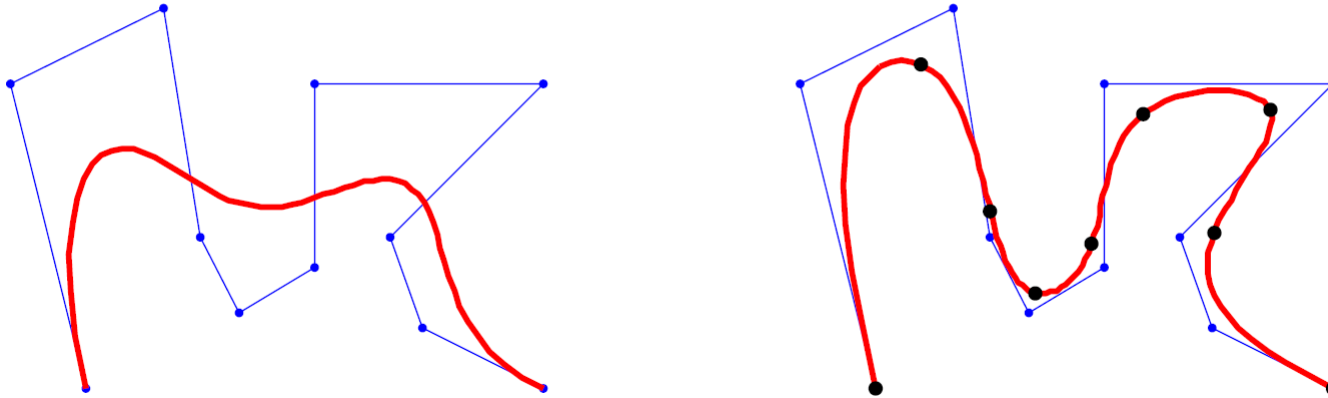


# B-Spline-Kurven

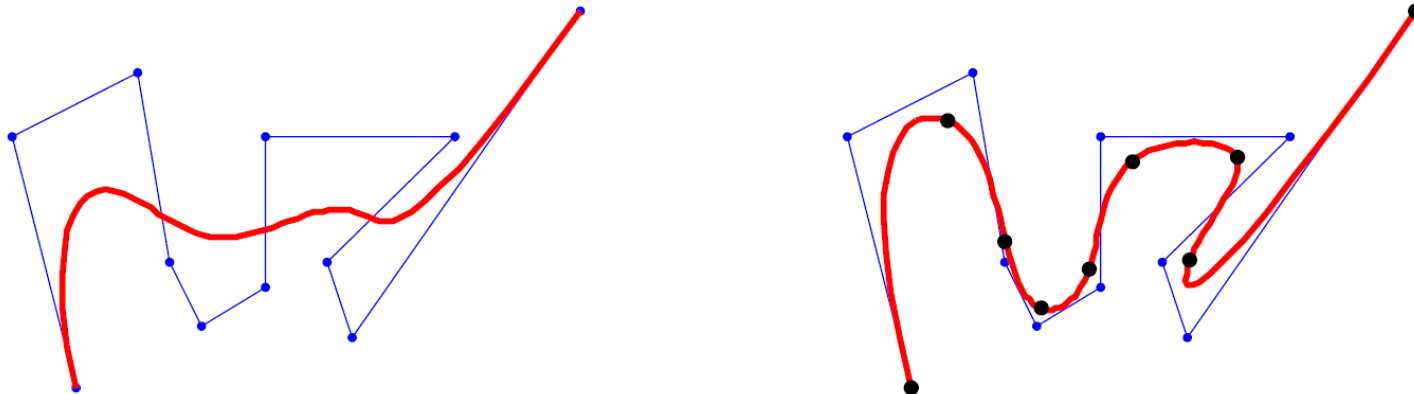
- Zusammenfassend: Definition eines B-Splines durch
  - Kontrollpolygon (= Stützpunkte)
  - Knotenvektor
  - Grad bzw. Ordnung der Kurvensegmente
- Eigenschaften:
  - Grad der Kurve wird nicht durch Anzahl der Stützpunkte angegeben
  - Maximale Ordnung der Kurve entspricht Anzahl der Stützpunkte
  - Kurve liegt innerhalb der konvexen Hülle der Stützpunkte
  - Invarianz gegenüber affinen Transformationen

# Vergleich: Bézier vs. B-Splines

Bessere Modellierungseigenschaften der B-Splines:



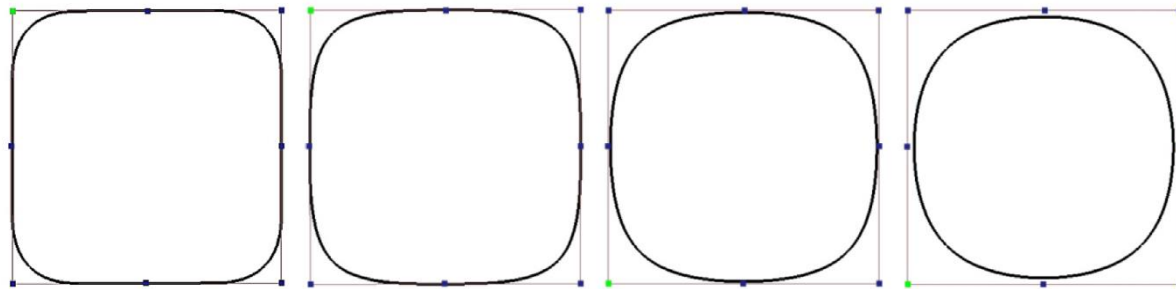
Lokalitätseigenschaft der B-Splines:



S. Terzi: „Splines in der Datenverarbeitung“, Seminararbeit Fachhochschule Aachen, 2012

# B-Spline-Kurven

- Kontrolle über den Kurvenverlauf:
  - Änderung des Knotenvektors (periodisch uniform, offen uniform, nicht-uniform)
  - Änderung des Grades  $k$
  - Änderung der Zahl/Position der Stützpunkte des Kontrollpolygons
- Deutlich mehr Flexibilität als Bézierkurven
- Limitationen
  - Können z.B. einen Kreis nicht exakt darstellen, nur approximieren



# NURBS

- NURBS = Non-uniform rational B-Splines
  - Erweiterung der Basisfunktion auf rationale Funktion
  - Einführung eines Gewichtungsfaktors  $w$  für jeden Stützpunkt
- Kurve ist definiert durch:

$$p(t) = \frac{1}{\sum_{i=0}^{n-1} N_{i,k}(t) \cdot w_i} \sum_{i=0}^{n-1} b_i \cdot N_{i,k}(t) \cdot w_i$$
$$p(t) = \sum_{i=0}^{n-1} b_i \cdot R_{i,k}(t)$$

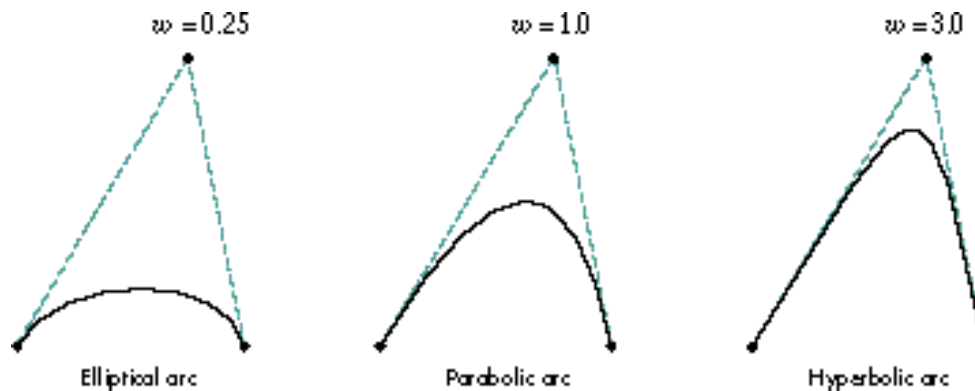
mit

$$R_{i,k}(t) = \frac{N_{i,k}(t) \cdot w_i}{\sum_{j=0}^{n-1} N_{j,k}(t) \cdot w_j} \quad \text{NURBS Basisfunktion}$$

# NURBS

- Einfluss der Gewichte

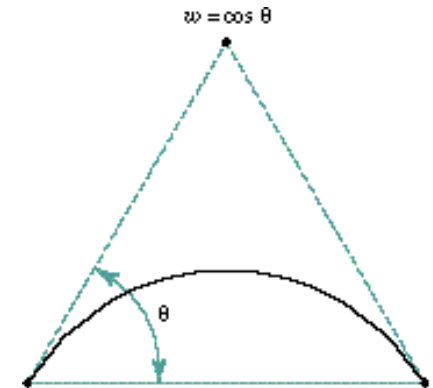
- Beispiel: 3 Stützpunkte,  $w_0 = 1$ ,  $w_2 = 1$ , Knotenvektor  $[0 \ 0 \ 0 \ 1 \ 1 \ 1]$



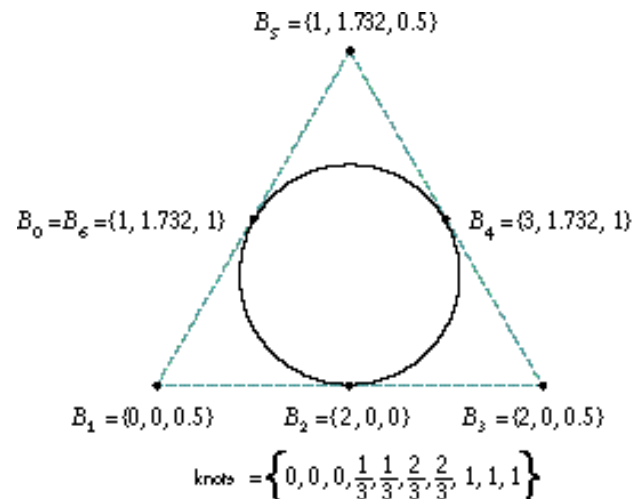
- Erhöhung des Gewichts eines Stützpunktes erhöht dessen Einfluss  
→ Kurve wird zum Stützpunkt hingezogen

# NURBS

- Beispiel: Kreis aus NURBS durch Konstruktion von Kreisbögen
  - Kontrollpolygon gleichschenkelig
  - Winkel  $\theta$  so groß wie halbe Größe des Kreisbogens.  
z.B. Kreisbogen  $120^\circ \rightarrow \theta = 60^\circ$
  - Gewicht des inneren Knotens  $w_1 = \cos \theta$ .  
z.B.  $\theta = 60^\circ \rightarrow w_1 = 0,5$
  - Knotenvektor =  $[0 \ 0 \ 0 \ 1 \ 1 \ 1]$

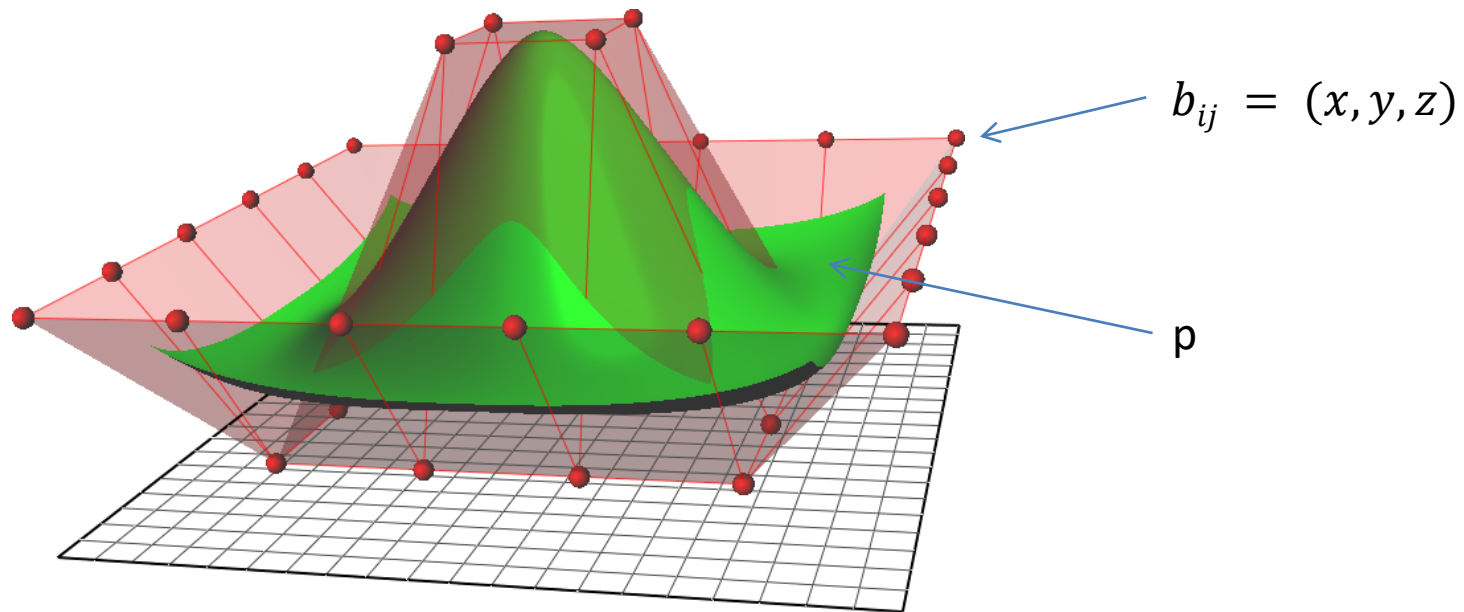


- Zusammengesetzt:



# B-Spline-/NURBS-Flächen

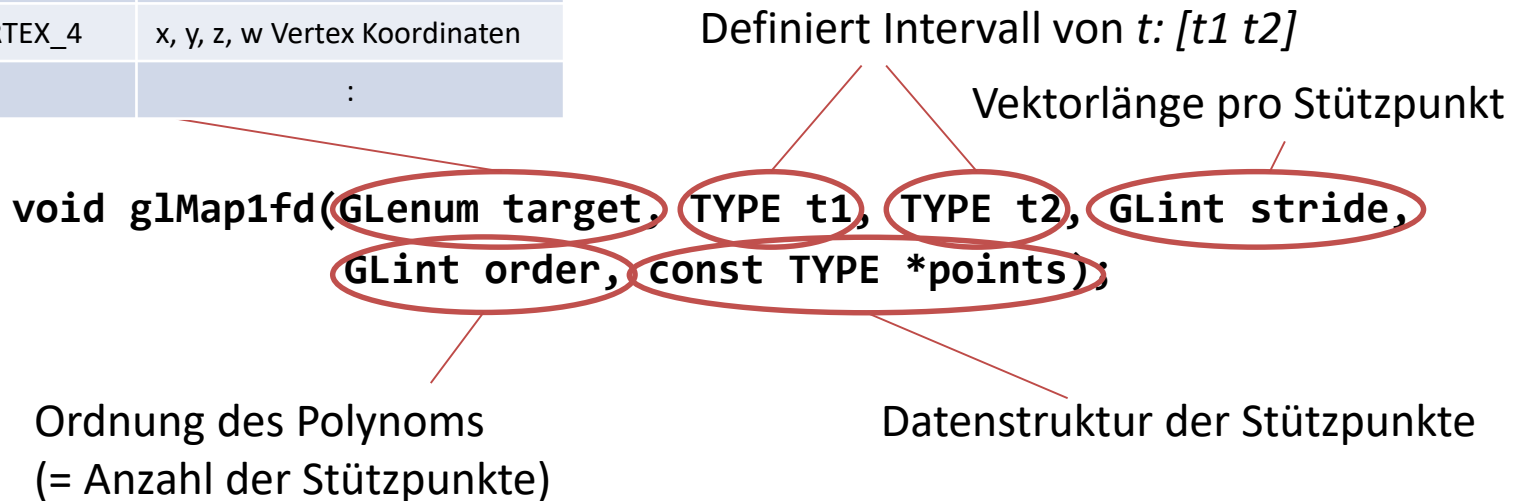
- Erweiterung der Definitionen auf NURBS-Flächen analog zu Bézierflächen.
  - Statt  $t$  nun zwei parametrische Richtungen:  $s, t$
  - Stützpunkte in einem Gitter  $b_{ij}$  angeordnet.



# Freiformkurven/-flächen in OpenGL

- „Evaluator“-Konzept für Bézierflächen
  - Definition eines eindimensionalen Evaluators: `glMap1*()`
  - Auswerten der Funktion an diskreten Stellen: `glEvalCoord1()`
- Eindimensionaler Evaluator:

Parameter target	Bedeutung
<code>GL_MAP1_VERTEX_3</code>	x, y, z Vertex Koordinaten
<code>GL_MAP1_VERTEX_4</code>	x, y, z, w Vertex Koordinaten
:	:





# Freiformkurven/-flächen in OpenGL

- Auswertung an diskreten Stellen (Vertexposition bestimmen):

`glEvalCoord1{fd} (TYPE t);`

- Beispiel:

```
#define STEPS 5

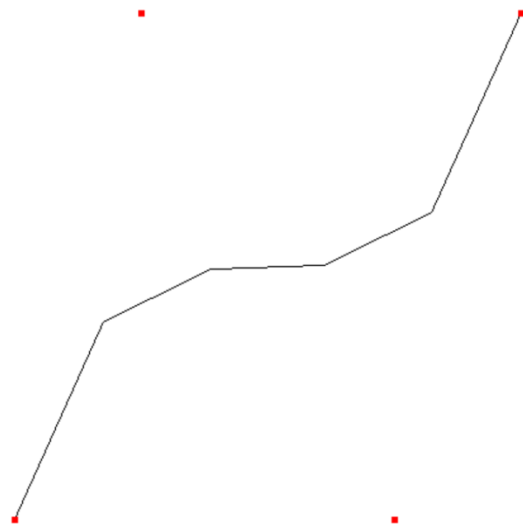
GLfloat ctrlpts[4][3] = {{-4.0,-4.0,0.0}, {-2.0,4.0,0.0}, {2.0,-4.0,0.0}, {4.0,4.0,0.0}};

void init(void){
    glClearColor(0.0, 0.0, 0.0, 0.0);
    glMap1f(GL_MAP1_VERTEX_3, 0.0, 1.0, 3, 4, &ctrlpts[0][0]);
    glEnable(GL_MAP1_VERTEX_3);
}

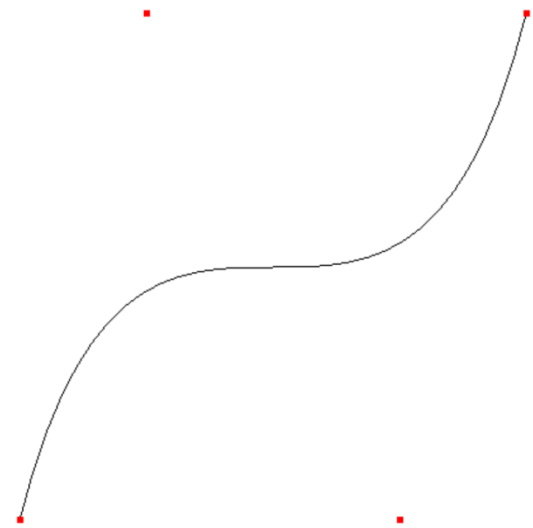
void display(void) {
    int i;
    glClear(GL_COLOR_BUFFER_BIT);
    glColor3f(1.0, 1.0, 1.0);
    glBegin(GL_LINE_STRIP);
        for (i = 0; i <= STEPS; i++)
            glEvalCoord1f((GLfloat) i / (GLfloat) STEPS);
    glEnd();
}
```

# Freiformkurven/-flächen in OpenGL

- Beispiel



STEPS = 5



STEPS = 30

- Analog: zwei-dimensionale Evaluatoren für Flächen

# Freiformkurven/-flächen in OpenGL

- GLU NURBS interface: high-level Interface zum Evaluator-Konzept

- Erzeugung eines NURBS Objektes

```
theNurb = gluNewNurbsRenderer();
```

- Einstellung der NURBS Rendering Eigenschaften

```
gluNurbsProperty();
```

- Kurve zeichnen

```
gluBeginCurve(theNurb);
```

```
gluNurbsCurve(theNurb, knotCount, knots, stride,  
              &ctrlpts, order, type);
```

Anzahl der Knoten

Knotenvektor

- Flächen äquivalent:

- `gluBeginSurface(theNurb);`

- `gluNurbsSurface(...);`

# ZUSAMMENFASSUNG

# Zusammenfassung

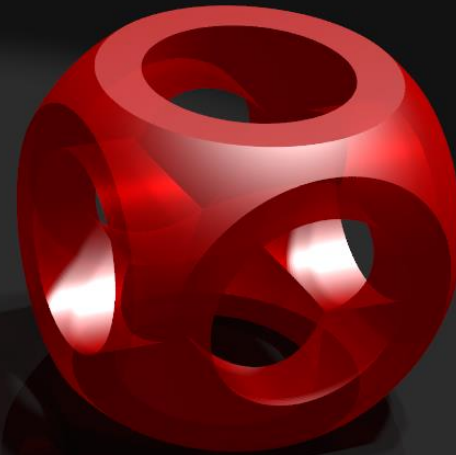
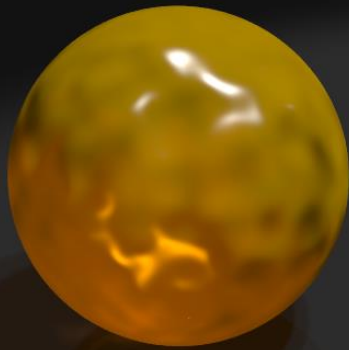
- Geometrische Beschreibung von Objekten durch Zusammensetzen von Grundobjekten, meist planare Polygone
  - Datenstrukturen: Knoten-/Kantenliste, ...
- Polygonisierung/ Triangulation zum Erzeugen von Polygonnetzen
  - Daten aus Isoflächen, Punktwolken etc.
  - Z.B. per Marching Cubes Algorithmus, Triangulation von Polygonen, Triangulation von Punktwolken
  - Gewisse Eigenschaften sollten eingehalten werden, z.B. keine degenerierten oder sehr flache Dreiecke → Delaunay Triangulation
  - Nachbearbeitungsschritte: Meshverfeinerung, Meshdezimierung, Meshglättung
- Darstellung gekrümmter Kurven/Flächen über parametrische Funktionen
  - Bézierkurven/-flächen, stückweise Bézierkurven/-flächen
  - B-Splines
  - NURBS

# Übungsfragen Kapitel 3

- Was ist Front- und Backface-Culling? Wie wird bestimmt ob ein Betrachter auf Vorder- oder Rückseite eines Polygons blickt?
- Was ist adaptives Meshing? Welchen Vorteil bietet es?
- Wann ist ein Polygon a) einfach? b) monoton bzgl. einer Achse? c) planar, d) konvex
- Beschreiben Sie eine Möglichkeit zur Generierung eines Polygonnetzes aus Punktwolken
- Wann erfüllt ein Polygonmesh die Delaunay-Eigenschaft?
- Erläutern Sie ein Verfahren zur Meshglättung
- Was ist ein offener B-Spline?
- Wie kann eine B-Spline-Kurve einen Stützpunkt interpolieren?

# Computergrafik

T. Hopp



# Themenübersicht

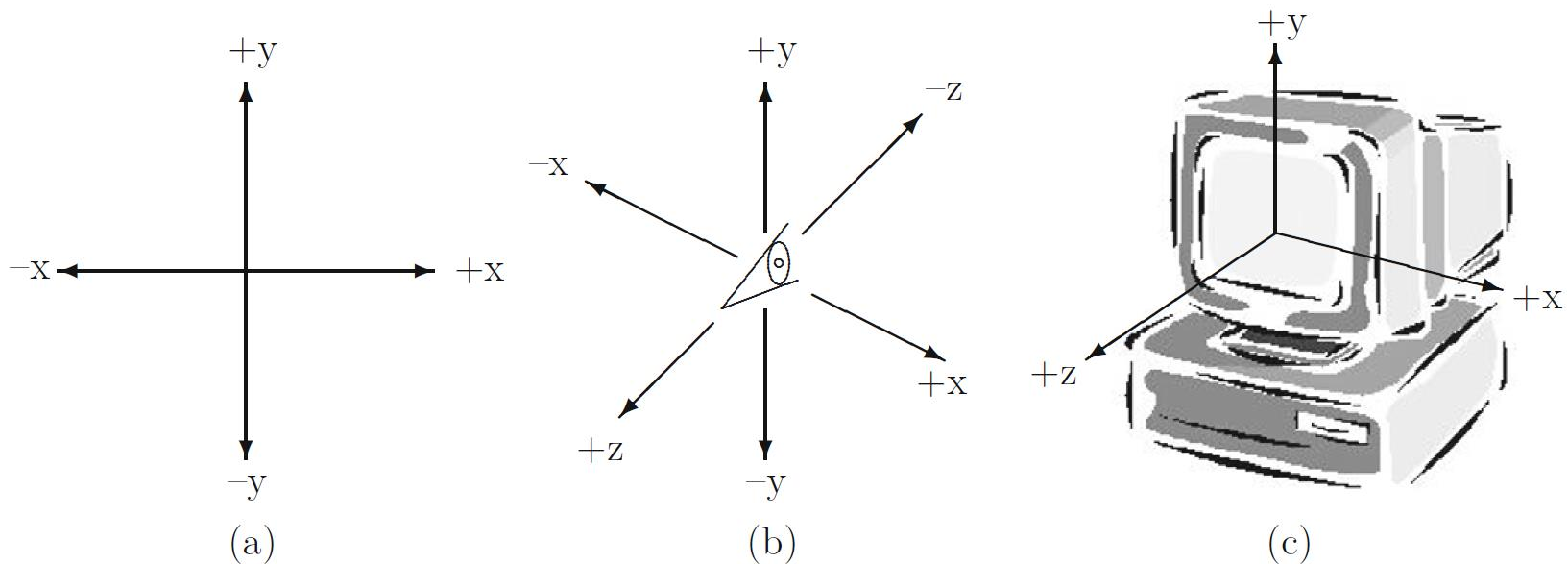
1. Einführung
2. Programmierbibliotheken / OpenGL
3. Geometrische Repräsentation von Objekten
- 4. Koordinatensysteme und Transformationen**
5. Zeichenalgorithmen
6. Buffer-Konzepte
7. Farbe, Beleuchtung und Schattierung
8. Texturen
9. Animationen
10. Raytracing
11. Volumenvisualisierung



# 4.1. KOORDINATENSYSTEME

# (OpenGL-) Koordinatensystem


- In der Regel 3D Euklidisches Koordinatensystem mit x-, y-, z-Achse
- Betrachter (=Augpunkt) standardmäßig im Ursprung ( $x = 0, y = 0, z = 0$ )



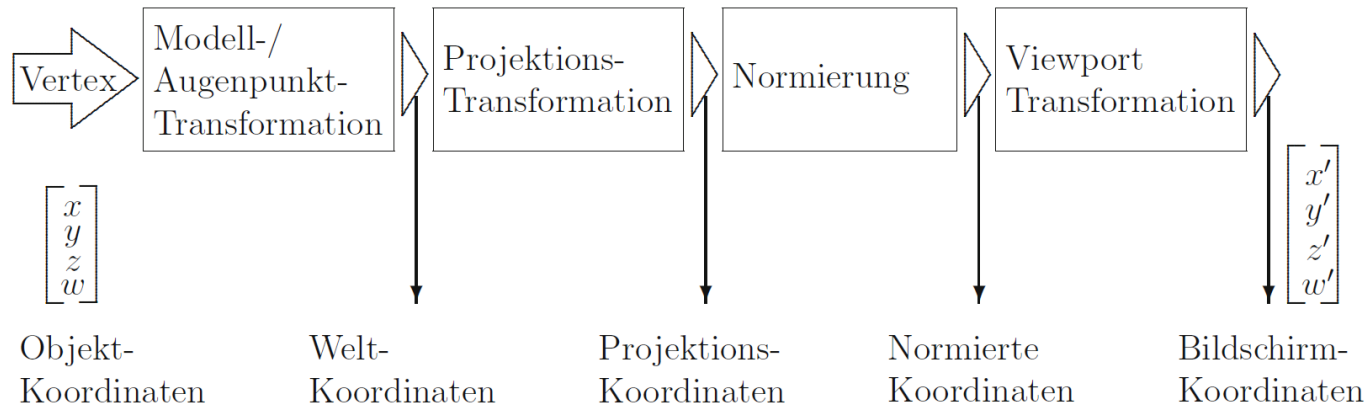
OpenGL Koordinatensystem aus  
(a) Sicht des Augpunktes, (b) Sicht eines externen Beobachters  
(c) mit Blick auf den Bildschirm

# Koordinatensysteme in der CG: Unterscheidung

- In der Computergrafik gibt es nicht nur ein Koordinatensystem. Es werden i.d.R. die folgenden unterschieden:

- 
- **Objektkoordinaten:**  
Lokale Koordinatensysteme für 3D Objekte
  - **Weltkoordinatensystem:**  
Koordinaten die für die gesamte Szene gelten
  - **Projektionskoordinaten:**  
Koordinaten nach perspektivischer bzw. orthogonaler Projektion
  - **Normierte Koordinaten:**  
Auf vorgegebenen Wertebereich beschränkte Koordinaten, die nach Division der Projektionskoordinaten mit dem inversen Streckungsfaktor  $w$  entstehen.
  - **Bildschirmkoordinaten:**  
Koordinaten, die Szene in der gewählten Fenstergröße darstellen

# Transformationskette



- **Modell-/Augenpunkttransformation:** Positionierung von Objekten in der Szene (= ModelView Matrix)
- **Projektionstransformation:** Definition des sichtbaren Volumens, z.B. Blickwinkel (= Frustum)
- **Normierung:** Transformation der Koordinaten auf Intervall  $[-w, +w]$  und Division durch inversen Streckungsfaktor  $w$  (= Normalized Device Coordinates)
- **Viewport-Transformation:** Positionierung der Vertices im Fenster

## 4.2. HOMOGENE KOORDINATEN

# Transformationen in 3D

- Ein Punkt im 3-dimensionalen Euklidischen Raum kann durch drei Koordinaten  $x, y, z$  beschrieben werden
  - Darstellung in Vektorform:  $\begin{pmatrix} x \\ y \\ z \end{pmatrix}$  bzw.  $(x, y, z)$  in transponierter Schreibweise
- Eine Transformation  $T$  des Ortsvektors des Punktes  $v = (x, y, z)$  kann durch Multiplikation mit einer  $3 \times 3$  Transformationsmatrix  $M$  durchgeführt werden:  
 $v' = Mv$

$$\begin{pmatrix} x' \\ y' \\ z' \end{pmatrix} = \begin{pmatrix} m_{11} & m_{12} & m_{13} \\ m_{21} & m_{22} & m_{23} \\ m_{31} & m_{32} & m_{33} \end{pmatrix} \begin{pmatrix} x \\ y \\ z \end{pmatrix}$$

$$x' = m_{11} \cdot x + m_{12} \cdot y + m_{13} \cdot z$$

$$y' = m_{21} \cdot x + m_{22} \cdot y + m_{23} \cdot z$$

$$z' = m_{31} \cdot x + m_{32} \cdot y + m_{33} \cdot z$$

- Translation kann durch die Transformationsmatrix nicht abgebildet werden!

# Homogene Koordinaten

- Beschreibung eines Punktes im 3D Raum durch vier Komponenten:

$$v = (x_h, y_h, z_h, w)$$

„inverser Streckungsfaktor“

- Euklidische Koordinate  $(x, y, z)$  berechnet sich als

$$x = \frac{x_h}{w}, \quad y = \frac{y_h}{w}, \quad z = \frac{z_h}{w}$$

- Werte für  $w$ :

- $w = 1$ : homogene Koordinaten = Euklidische Koordinaten
- $w < 1, w > 1$ : Streckung/Stauchung um Faktor  $1/w$
- $w = 0$ : Division durch 0  $\rightarrow$  Richtungsvektoren

- Transformation mit homogenen Koordinaten

$$\begin{pmatrix} x' \\ y' \\ z' \\ w' \end{pmatrix} = \begin{pmatrix} m_{11} & m_{12} & m_{13} & T_x \\ m_{21} & m_{22} & m_{23} & T_y \\ m_{31} & m_{32} & m_{33} & T_z \\ 0 & 0 & 0 & m_{44} \end{pmatrix} \begin{pmatrix} x \\ y \\ z \\ w \end{pmatrix}$$

Translation

# Transformation mit homogenen Koordinaten

- Allgemein:

$$\begin{pmatrix} x' \\ y' \\ z' \\ w' \end{pmatrix} = \begin{pmatrix} m_{11} & m_{12} & m_{13} & m_{14} \\ m_{21} & m_{22} & m_{23} & m_{24} \\ m_{31} & m_{32} & m_{33} & m_{34} \\ m_{41} & m_{42} & m_{43} & m_{44} \end{pmatrix} \begin{pmatrix} x \\ y \\ z \\ w \end{pmatrix}$$
$$v' = M v$$

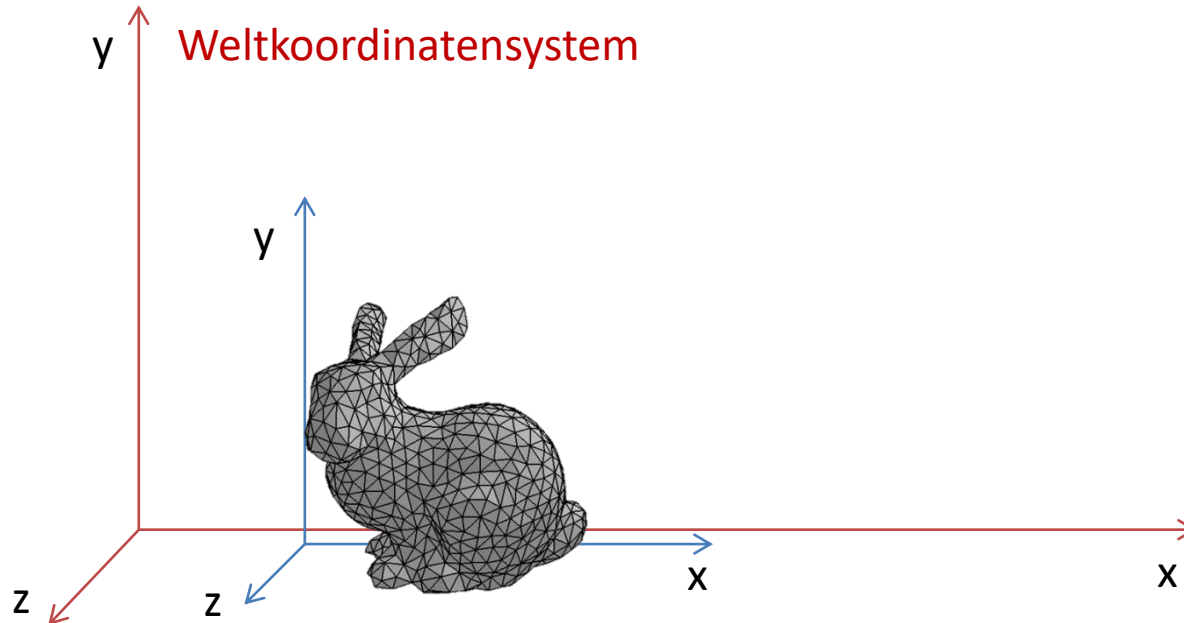
- Alle Transformationen der Transformationskette arbeiten mit homogenen Koordinaten → Effiziente Abbildung der Operationen in der Hardware
- Ausführung mehrerer Transformationen hintereinander
  - Möglichkeit 1:  $v' = (\dots \cdot \mathbf{M}_2 \cdot (\mathbf{M}_1 \cdot v))$
  - Möglichkeit 2:  $v' = (\dots \cdot \mathbf{M}_2 \cdot \mathbf{M}_1) \cdot v$
- OpenGL nutzt Möglichkeit 2, da effizienter.
- Matrizen-Operationen in OpenGL:

```
glLoadMatrixf(const GLfloat *M); // laden einer Matrix
glLoadIdentity(GLvoid); // Identitätsmatrix
glMultMatrixf(const GLfloat *M); // Multipl. mit Matrix im Speicher
```



## **4.3. MODELL- UND AUGPUNKTTRANSFORMATIONEN**

# Modell-Transformationen



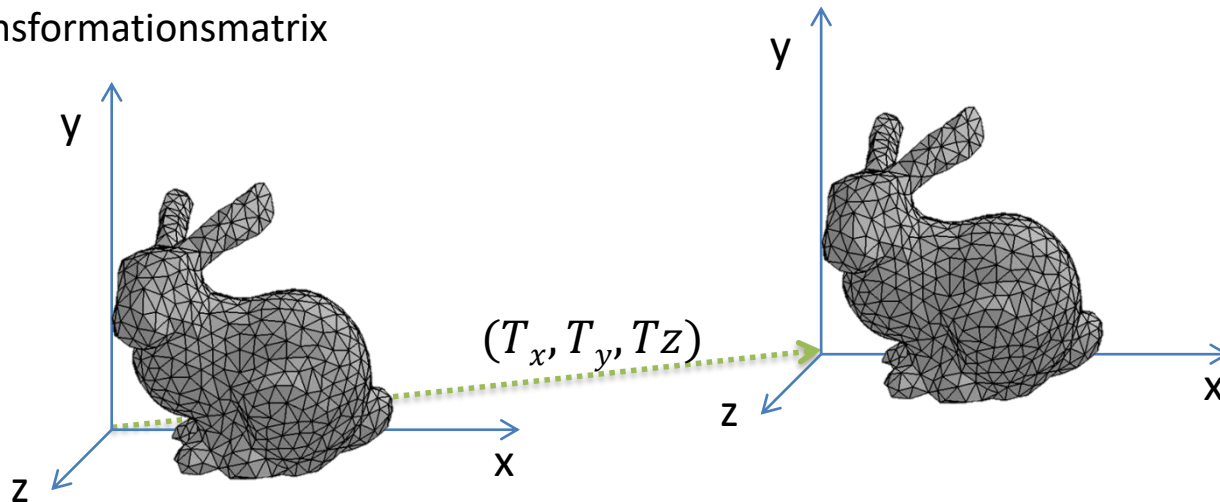
- Definition von Objekten i.d.R. in lokalem Koordinatensystem
  - Feste Kopplung 3D-Objekt an lokales Koordinatensystem
- Positionierung in der 3D Szene: lokales Koordinatensystem wird im Weltkoordinatensystem „bewegt“:
  - Translation
  - Drehung
  - Skalierung } = Affine Transformationen

# Translation

- Translation eines Punktes um  $(T_x, T_y, T_z)$

$$\begin{pmatrix} x' \\ y' \\ z' \\ w' \end{pmatrix} = \begin{pmatrix} 1 & 0 & 0 & T_x \\ 0 & 1 & 0 & T_y \\ 0 & 0 & 1 & T_z \\ 0 & 0 & 0 & 1 \end{pmatrix} \begin{pmatrix} x \\ y \\ z \\ w \end{pmatrix}$$

- In OpenGL: **glTranslatef(T\_x, T\_y, T\_z)**
  - Definition einer 4 x 4 Translationsmatrix anhand  $T_x, T_y, T_z$
  - State Machine (!): Multiplikation mit der aktuell im Speicher vorliegenden Transformationsmatrix



# Rotation

- Rotation um die x-Achse:

$$\begin{pmatrix} x' \\ y' \\ z' \\ w' \end{pmatrix} = \begin{pmatrix} 1 & 0 & 0 & 0 \\ 0 & \cos \alpha & -\sin \alpha & 0 \\ 0 & \sin \alpha & \cos \alpha & 0 \\ 0 & 0 & 0 & 1 \end{pmatrix} \begin{pmatrix} x \\ y \\ z \\ w \end{pmatrix}$$

`glRotatef( $\alpha$ ,1, $\theta$ , $\theta$ );`

- Rotation um die y-Achse:

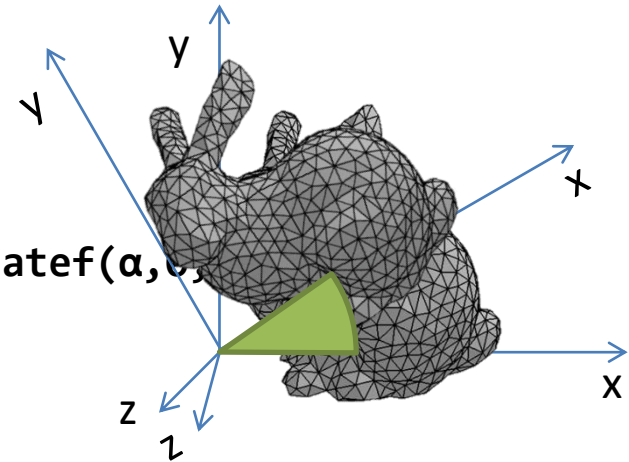
$$\begin{pmatrix} x' \\ y' \\ z' \\ w' \end{pmatrix} = \begin{pmatrix} \cos \alpha & 0 & \sin \alpha & 0 \\ 0 & 1 & 0 & 0 \\ -\sin \alpha & 0 & \cos \alpha & 0 \\ 0 & 0 & 0 & 1 \end{pmatrix} \begin{pmatrix} x \\ y \\ z \\ w \end{pmatrix}$$

`glRotatef( $\alpha$ , $\theta$ ,1, $\theta$ );`

- Rotation um die z-Achse:

$$\begin{pmatrix} x' \\ y' \\ z' \\ w' \end{pmatrix} = \begin{pmatrix} \cos \alpha & -\sin \alpha & 0 & 0 \\ \sin \alpha & \cos \alpha & 0 & 0 \\ 0 & 0 & 1 & 0 \\ 0 & 0 & 0 & 1 \end{pmatrix} \begin{pmatrix} x \\ y \\ z \\ w \end{pmatrix}$$

`glRotatef( $\alpha$ , $\theta$ , $\theta$ ,1);`



# Rotation

- Rotation eines Punktes  $v$  um einen Richtungsvektor  $r = (R_x, R_y, R_z)$ :

$$v' = M v$$

$$M = \begin{pmatrix} R_x^2(1 - \cos \alpha) \cos \alpha & R_x R_y(1 - \cos \alpha) - R_z \sin \alpha & R_x R_z(1 - \cos \alpha) + R_y \sin \alpha & 0 \\ R_y R_x(1 - \cos \alpha) + R_z \sin \alpha & R_y^2(1 - \cos \alpha) \cos \alpha & R_y R_z(1 - \cos \alpha) - R_x \sin \alpha & 0 \\ R_z R_x(1 - \cos \alpha) - R_y \sin \alpha & R_z R_y(1 - \cos \alpha) + R_z \sin \alpha & R_z^2(1 - \cos \alpha) \cos \alpha & 0 \\ 0 & 0 & 0 & 1 \end{pmatrix}$$

- In OpenGL:

```
glRotatef( $\alpha$ ,  $R_x, R_y, R_z$ );
```

Länge des Richtungsvektors = 1

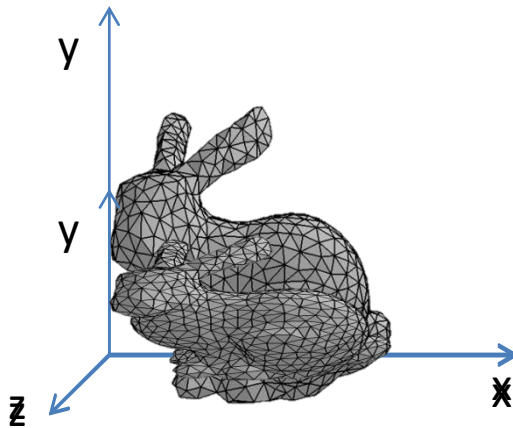
# Skalierung

- Skalierungsmatrix: Skalierung um Faktoren  $(S_x, S_y, S_z)$

$$\begin{pmatrix} x' \\ y' \\ z' \\ w' \end{pmatrix} = \begin{pmatrix} S_x & 0 & 0 & 0 \\ 0 & S_y & 0 & 0 \\ 0 & 0 & S_z & 0 \\ 0 & 0 & 0 & 1 \end{pmatrix} \begin{pmatrix} x \\ y \\ z \\ w \end{pmatrix}$$

- In OpenGL:

```
glScalef(S_x, S_y, S_z);
```



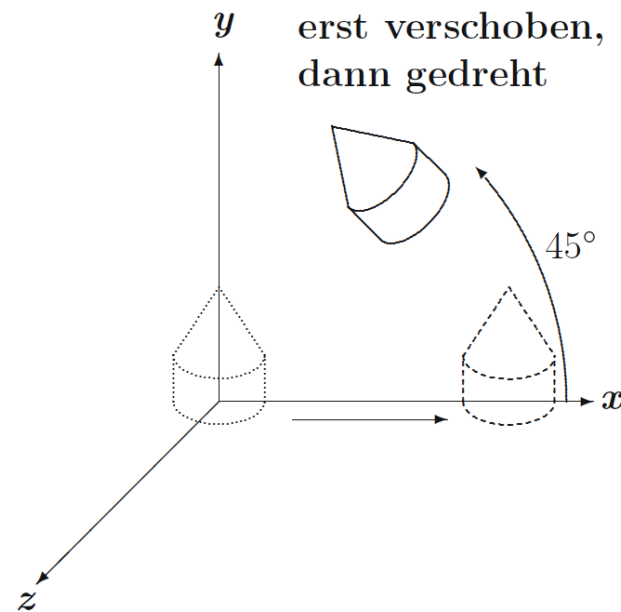
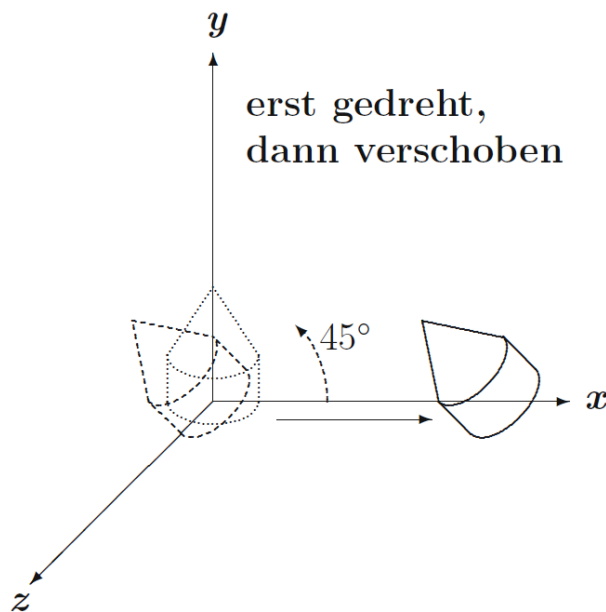
Beispiel für  $S_x = 1, S_y = 0.5, S_z = 1$

# Skalierung

- $S_x = S_y = S_z$  uniforme Skalierung
- $S < 0$  Spiegelung an der jeweiligen Achse
- $S = 0$  unzulässiger Wert
- $|S| = 1$  Dimension unverändert (aber evtl. Spiegelung wenn  $S = -1$ )
- $0 < |S| < 1$  Stauchung, Dimension wird verkleinert
- $|S| > 1$  Streckung, Dimension wird vergrößert

# Reihenfolge der Transformationen

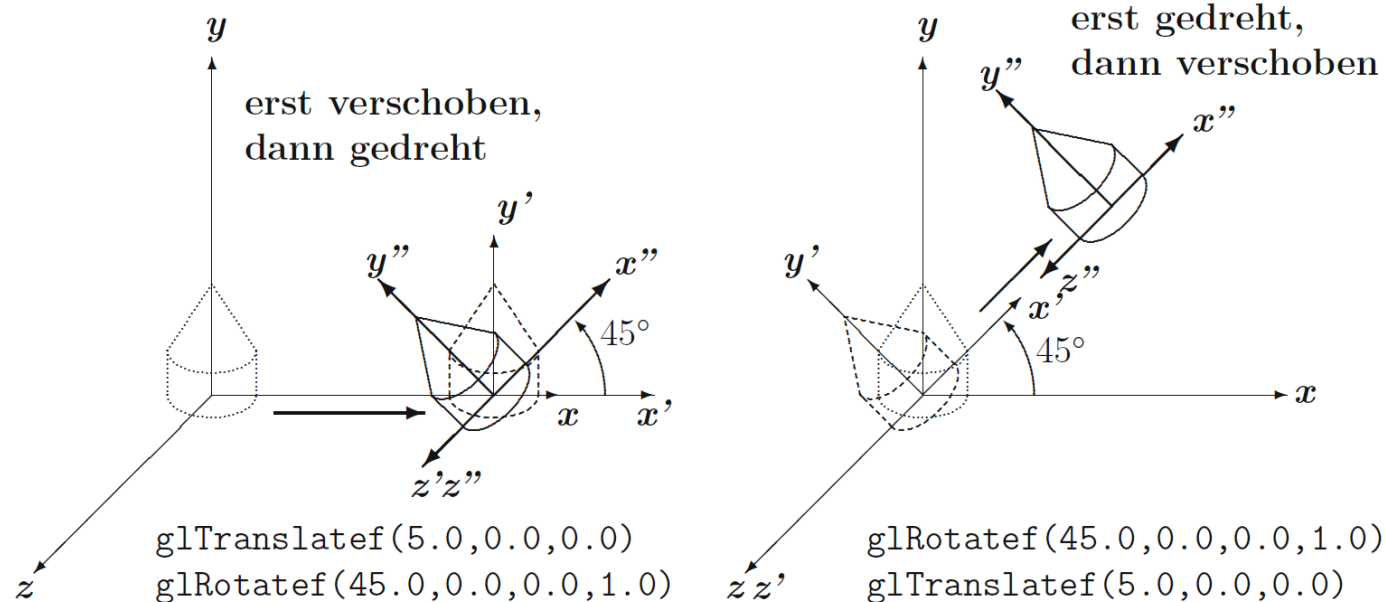
- Reihenfolge der Transformationen ist wichtig, da sie nicht unabhängig von einander sind
- Unterscheidung zweier Denkweisen:
  1. Transformation eines Objektes im Weltkoordinatensystem





# Reihenfolge der Transformationen

## 2. Transformation des lokalen Koordinatensystem im Weltkoordinatensystem



- Verwendung 2. Variante im Programmcode: Verkettung durch Multiplikation auf vorhandene Matrix (=Rechtsmultiplikation) → folgt der Denkweise „Transformation des lokales Koordinatensystem“

# Reihenfolge der Transformationen

- Implementierungsbeispiel:

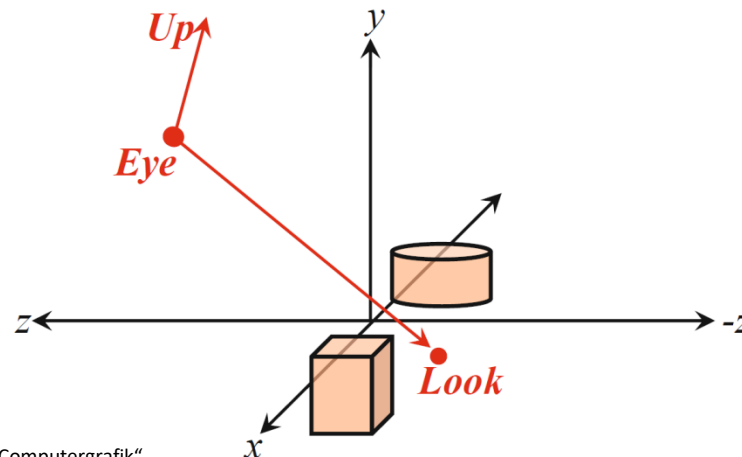
```
glLoadIdentity();  
glTranslatef(...);  
glRotatef(...);  
glBegin(GL_TRIANGLES);  
glVertexfv(v);  
:  
glEnd();
```

1. Laden der Identitätsmatrix  $I$  zur Initialisierung
2. Multiplikation der Translationsmatrix  $T$  von rechts auf  $I$ :  $I \cdot T = T$
3. Multiplikation der Rotationsmatrix  $R$  von rechts auf  $T$ :  $T \cdot R$
4. Multiplikation der Vertices  $v$  von rechts auf  $TR$ :  $T \cdot R \cdot v$

Dies entspricht:  $T(Rv) \Rightarrow v' = Rv, v'' = Tv'$

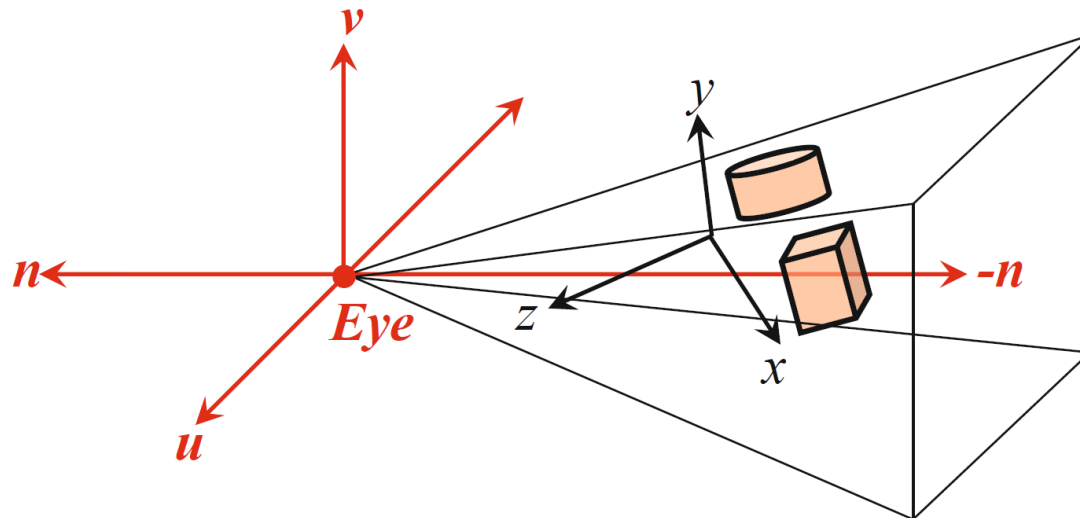
# Augpunkttransformationen

- Ändern der Position und der Blickrichtung des Augpunktes
  - = Positionierung der Kamera
  - In OpenGL standardm. in Punkt  $(0,0,0)$ , Blick entlang der negativen z-Achse
- Gleichbedeutend mit Verschiebung der Szene (Modelltransformation)
- Zusammenfassung in einer Modelview-Matrix
- Augpunkttransformationen immer vor allen Transformationen ausführen!
- In OpenGL:  
`gluLookAt(Eye.x, Eye.y, Eye.z, Look.x, Look.y, Look.z, Up.x, Up.y, Up.z);`



# Augpunkttransformationen

- **gluLookAt** Transformation ist zweiteilig:
  1. Drehung im Raum so dass Sichtachse  $n$  der z-Achse entspricht und gleichzeitig der Vektor nach oben ( $v$ ,  $Up$ ) parallel zur y-Achse ausgerichtet ist
  2. Verschiebung des Ortsvektors  $Eye$  in den Ursprung  $(0,0,0)$



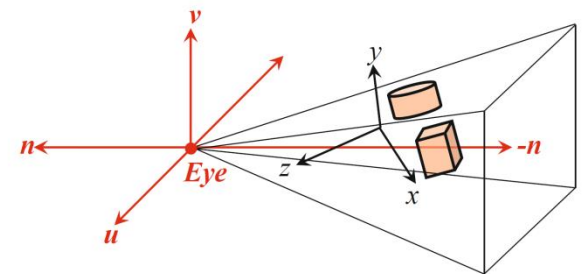
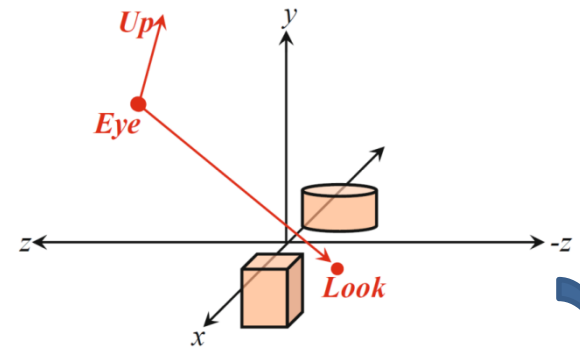
- Randbedingungen:
  - $Eye$  und  $Look$  dürfen nicht identisch sein.
  - $Up$  darf nicht parallel zu  $n$  gewählt werden.

# Augpunkttransformationen

## 1. Berechnung der Rotationsmatrix:

- $-n = \mathbf{Eye} - \mathbf{Look}$
- $u, v \perp n, u \perp v, v$  muss nach oben zeigen
  - a.)  $u = \mathbf{Up} \times n$
  - b.)  $v = n \times u$
- Normierung der Länge von  $n, u, v$  auf 1.

- Rotationsmatrix ergibt sich als: 
$$\mathbf{M}_R = \begin{pmatrix} u_x & u_y & u_z & 0 \\ v_x & v_y & v_z & 0 \\ n_x & n_y & n_z & 0 \\ 0 & 0 & 0 & 1 \end{pmatrix}$$



# Augpunkttransformationen

## 2. Berechnung der Verschiebung:

- Einfache Translation um  $-Eye$  reicht nicht aus, da i.d.R. das Koordinatensystem gedreht wurde.
- Multiplikation der gesamten Augpunkt-Transformationsmatrix  $M_{RT}$  mit  $Eye$ , gleichsetzen mit gewünschtem Ursprung in homogenen Koordinaten  $(0,0,0,1)$

$$\begin{pmatrix} u_x & u_y & u_z & t_x \\ v_x & v_y & v_z & t_y \\ n_x & n_y & n_z & t_z \\ 0 & 0 & 0 & 1 \end{pmatrix} \begin{pmatrix} Eye.x \\ Eye.y \\ Eye.z \\ 1 \end{pmatrix} = \begin{pmatrix} 0 \\ 0 \\ 0 \\ 1 \end{pmatrix}$$

$$\Rightarrow \begin{pmatrix} t_x = -u \cdot Eye \\ t_y = -v \cdot Eye \\ t_z = -n \cdot Eye \end{pmatrix}$$